



بیست و پنجمین کنفرانس اپتیک و
فوتونیک ایران و یازدهمین کنفرانس
مهندسی و فناوری فوتونیک ایران،
دانشگاه شیراز،
شیراز، ایران.
۱۱-۹ بهمن ۱۳۹۷



طراحی و برپایی چیدمان اندازه‌گیری پاشندگی تأخیر گروه آینه‌های پاشنده

حدیثه تربت اصفهانی^۱، حمیدرضا فلاح^{۱،۲}، مرتضی حاجی محمود زاده^{۱،۲}، مهدی مردیها^۲، محمد ثاقب فر^۴

۱- گروه فیزیک دانشگاه اصفهان hadis21@rocketmail.com

۲- گروه پژوهشی اپتیک کوانتومی دانشگاه اصفهان hfallah@sci.ui.ac.ir، m.hajimahmoodzade@sci.ui.ac.ir

۳- صنایع اپتیک ایران thinfilmgroup@yahoo.com

۴- پژوهشکده اپتیک و لیزر دانشگاه صنعتی مالک اشتر saghebfar@mut-es.ac.ir

چکیده - امروزه پیشرفت زیادی در زمینه‌ی ساخت آینه‌های چرپ حاصل شده است. این آینه‌ها می‌توانند تپ فوق کوتاه تا ۵ فمتوثانیه ایجاد و در نتیجه توان بالایی برای تپ خروجی حاصل کنند. در این مقاله چیدمان تجربی تداخل سنجی مایکلسون را برای اندازه‌گیری پاشندگی تأخیر گروه برپا کرده و بیناب‌های تداخلی مربوطه را ثبت کردیم و سپس با استفاده از الگوریتم تبدیل موجک پاشندگی تأخیر گروه را به دست آوریم که با اطلاعات ارائه‌شده برای آینه‌ها توسط شرکت سازنده، تطابق بسیار خوبی را نشان می‌دهد.

کلیدواژه- آینه‌های چرپ، پاشندگی تأخیر گروه، پاشندگی سرعت گروه، تبدیل موجک، لایه‌های نازک

Design and set up of a Layout for measurement of group delay dispersion of dispersive mirrors

Hadiseh Torbat Isfahani¹, Hamidreza Fallah^{1,2}, Morteza Hajimahmoodzadeh^{1,2}, Mehdi Mardiha³, Mohamad Saghebfar⁴

1-Department of physics, University of Isfahan, hadis21@rocketmail.com

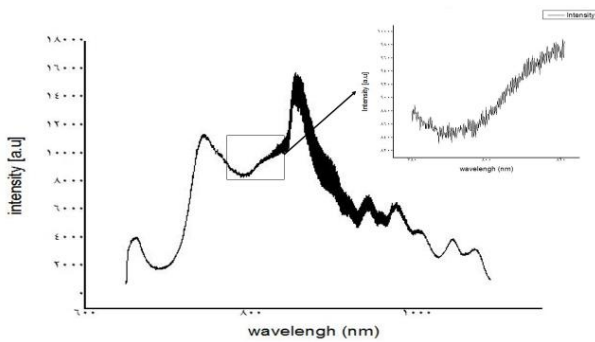
2-IQOG, University of Isfahan, m.hajimahmoodzade@sci.ui.ac.ir, hfallah@sci.ui.ac.ir

3- Industry optic Isfahan, thinfilmgroup@yahoo.com

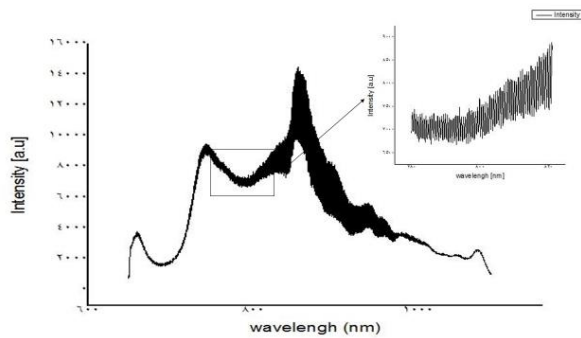
۴-Optics-Laser Science and Technology Research Center, Malek Ashtar University of Technology, saghebfar@mut-es.ac.ir

Abstract-Nowadays, there has been a lot of development in the production of chirp mirrors. These mirrors are being used to create ultrashort femtosecond pulses for high power lasers. In this study, we setup a Michelson interferometer to record white light interferons. Finally, we calculate the group delay dispersions using the wavelet transform method, which are in good agreement with standard data.

Keywords: chirped mirrors, Group delay dispersion, Group velocity dispersion, Thin Film, Wavelet-transform



شکل ۲: بیناب آینه‌ی نمونه اول با پاشندگی تأخیر گروه $-400 fs^2$



شکل ۳: بیناب آینه‌ی نمونه دوم با پاشندگی تأخیر گروه $-250 fs^2$

در این معادله $\Psi(\omega')$ تابع موجک مادر است و $\Psi\left[\frac{(\omega' - \omega)t}{2\pi}\right]$ معادله‌ی موجک دختر است. ω متغیر جابه‌جایی^۱ و $\frac{2\pi}{t}$ متغیر مقیاس است. در واقع ضرایب شباهت از تبدیل موجک دختر و بیناب اصلی به دست می‌آید. برای محاسبه‌ی فاز به یک موجک مختلط نیاز داریم که موجک گابور یا گاوسی [۷، ۸] از معروف‌ترین آن‌ها است و بهترین قدرت تفکیک‌پذیری زمان-بسامد را داراست به همین دلیل در این پژوهش این موجک را انتخاب کردیم.

حال برای به دست آوردن تأخیر گروه از روی قله‌ی تبدیل موجک با تعریف "دوره‌ی محلی"^۲ $t(\omega)$ که از بیشینه‌ی پوش منحنی ریخت‌شناسی فاز [۸] $w(t, \omega)$ در یک ω ثابت به دست می‌آید، می‌توان بیناب فاز را مطابق رابطه‌ی زیر به دست آورد:

$$\varphi(\omega) = \int t(\omega) * d\omega \quad (2)$$

برای ثبت بیناب دو روش زمانی [۳] و بینایی [۵] در تداخل-سنجی وجود دارد که ما روش بینایی را برگزیدیم. به دلیل پهنای بینایی نسبتاً زیاد منبع نور طول همدوسی نورتابشی خیلی کوتاه است در نتیجه اختلاف راه دو بازو باید تقریباً صفر یا طول دو بازو تقریباً یکسان باشد.

در این آزمایش ابتدا طول دو بازو را تقریباً مساوی قرار داده و سپس به کمک جابه‌جایی که با دقت ۱۰۰ نانومتر جابه‌جا می‌شد تلاش کردیم تا بیناب را دریافت کنیم و این زمانی به دست آمد که طول بازو کاملاً یکسان شد. سپس با کمک یک عدسی با طول فاصله کانونی ۴۰ میلی‌متر نور را داخل فیبر بیناب‌سنج متمرکز کردیم. تنظیم زاویه‌ی پرتو شکاف و آینه‌ها در چیدمان از اهمیت بالایی برخوردار است به طوری که اگر تنظیم نباشد الگوی تداخلی دریافت نخواهد شد. در این آزمایش بیناب از نوفه‌های زیادی برخوردار بود که ناشی از افت‌وخیزهای ولتاژی منبع نور، لرزش محیط و دقت کم قطعات اپتیکی است در نتیجه با برپایی این چیدمان بر روی میز اپتیکی و با بهره‌گیری از بهترین قطعات اپتیکی، نوفه‌ها را تا حد امکان کاهش دادیم. پس از اطمینان از عملکرد صحیح چیدمان و انتخاب الگوی مناسب تداخلی از دو نمونه آینه استاندارد، بیناب آن‌ها را ثبت کرده که در شکل‌های ۲ و ۳ ارائه شده است.

۲- محاسبه پاشندگی تأخیر گروه با استفاده از

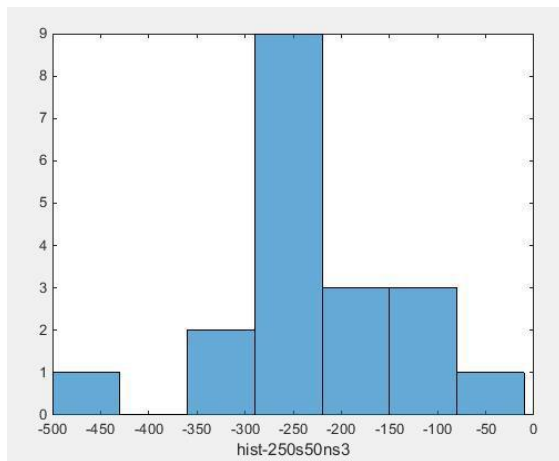
تبدیل موجک

در این قسمت به اختصار مبانی نظری به دست آوردن تأخیر گروه با استفاده از تبدیل موجک توضیح داده می‌شود. تبدیل موجک [۶] الگوی بیناب $f(\omega)$ با فرمول زیر تعریف می‌شود:

$$w(t, \omega) = \frac{t}{2\pi} \int_{-\infty}^{+\infty} f(\omega') \psi^*\left[\frac{(\omega' - \omega)t}{2\pi}\right] d\omega \quad (1)$$

² Local period

¹ shift factor



شکل ۵: نمودار فراوانی پاشندگی تأخیر گروه اندازه‌گیری شده برای آینه دوم با پاشندگی تأخیر گروه ۲۵۰-

مراجع

- [1] Z. Luo, S. Zhang, W.-d. Shen, C. Xia, Q. Ma, X. Liu, and Y. Zhang, "Group delay dispersion measurement of a dispersive mirror by spectral interferometry: comparison of different signal processing algorithms," *Appl. Opt.* **50**, C239-C245 (2011).
- [2] W. H. Knox, N. M. Pearson, K. D. Li, and C. A. Hirlimann, "Interferometric measurements of femtosecond group delay in optical components," *Opt. Lett.* **13**, 574-576 (1988).
- [3] K. Naganuma, K. Mogi, and H. Yamada, "Group-delay measurement using the Fourier transform of an interferometric cross correlation generated by white light," *Opt. Lett.* **15**, 393-395 (1990).
- [4] Y. Deng, W. Yang, C. Zhou, X. Wang, J. Tao, W. Kong, and Z. Zhang, "Wavelet-transform analysis for group delay extraction of white light spectral interferograms," *Opt. Express* **17**, 6038-6043 (2009).
- [5] J. Y. Lee and D. Y. Kim, "Versatile chromatic dispersion measurement of a single mode fiber using spectral white light interferometry," *Opt. Express* **14**, 11608-11615 (2006).
- [6] D. Reolon, M. Jacquot, I. Verrier, G. Brun, and C. Veillas, "High resolution group refractive index measurement by broadband supercontinuum interferometry and wavelet-transform analysis," *Opt. Express* **14**, 12744-12750 (2006).
- [7] Y. Deng, Z. Wu, L. Chai, C.-y. Wang, K. Yamane, R. Morita, M. Yamashita, and Z. Zhang, "Wavelet-transform analysis of spectral shearing interferometry for phase reconstruction of femtosecond optical pulses," *Opt. Express* **13**, 2120-2126 (2005).
- [8] Y. Deng, C. Wang, L. Chai, and Z. Zhang, "Determination of Gabor wavelet shaping factor for accurate phase retrieval with wavelet-transform," *Applied Physics B* **81**, 1107-1111 (2005).
- [9] Y. Deng, W. Yang, C. Zhou, X. Wang, J. Tao, W. Kong, and Z. Zhang, "Direct measurement of group delay with joint time-frequency analysis of a white-light spectral interferogram," *Opt. Lett.* **33**, 2855-2857 (2008).

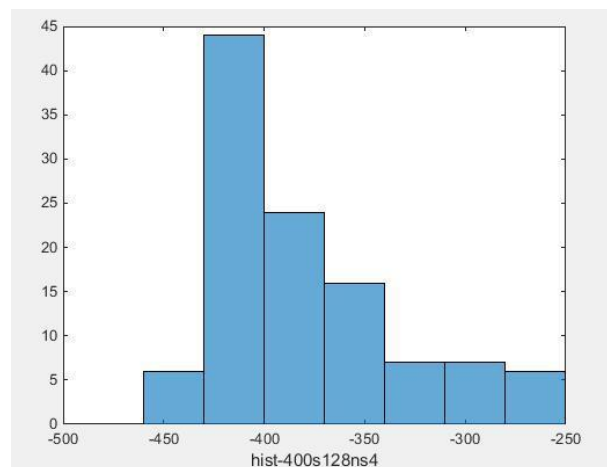
که در آن ω بسامد زاویه‌ای اپتیکی است. تأخیر گروه از مشتق فاز نسبت به بسامد زاویه‌ای ω به دست می‌آید:

$$GD = \frac{d\phi}{d\omega} = t(\omega) \quad (3)$$

از معادله (۳) دیده می‌شود که بیناب دوره‌ی محلی دقیقاً همان GD یا تأخیر گروه است [۴] که با یک‌بار مشتق‌گیری از تأخیر گروه، پاشندگی تأخیر گروه به دست می‌آید. در اینجا الگوهای بینابی که در قسمت قبل به دست آوردیم را در فرمول ۱ جایگزین می‌کنیم و ضرایب تبدیل موجک را محاسبه می‌کنیم سپس با استفاده از الگوریتم قله‌ی تبدیل موجک [۹] پاشندگی تأخیر گروه را به دست آوردیم.

۴- نتیجه‌گیری

ما برای تداخل‌های ثبت‌شده که در شکل ۲ و ۳ نشان داده شده است، پاشندگی تأخیر گروه را محاسبه کرده و نتایج را در شکل‌های ۴ و ۵ آورده‌ایم. طبق رفتار نمودار بیشترین مقدار فراوانی را برای آینه نمونه اول و دوم حول ۴۰۰- و ۲۵۰- مشاهده کنیم که مقدارهای به‌دست‌آمده با اعداد اعلام‌شده توسط شرکت سازنده، سازگاری خوبی دارد. نتایج به‌دست‌آمده نشان می‌دهد با استفاده از الگوریتم تبدیل موجک و تداخل‌سنج مایکلسون با دقت خوبی پاشندگی تأخیر گروه را می‌توان به دست آورد.



شکل ۴: نمودار فراوانی پاشندگی تأخیر گروه اندازه‌گیری شده برای آینه اول با پاشندگی تأخیر گروه ۴۰۰-